

## О РАСПРОСТРАНЕНИИ ЗВУКОВЫХ ВОЛН В НАСЛЕДСТВЕННО УПРУГОЙ СРЕДЕ

*С. И. Мешков, Ю. А. Россихин*

"(Воронеж)"

Дробно-экспоненциальные функции, введенные Ю. Н. Работновым [1] в качестве ядер интегральных операторов, оказываются весьма эффективными при применении принципа Вольтерра к решению статических [1,2] и динамических [3,4] задач наследственной теории упругости. Это объясняется тем, что дробно-экспоненциальные ядра допускают расшифровку соответствующих упругих операторов по вполне определенным правилам. Исследование диссипативных процессов при гармоническом деформировании таких сред позволяет установить эквивалентность между дробно-экспоненциальными ядрами и функциями распределения констант релаксации (ретардации) [5, 6]. Например, порядок дробности однозначно определяет радиус векторной диаграммы комплексного модуля (податливости) [7], которая представляет собой круговые диаграммы Коль-Коля, соответствующие вполне определенной функции распределения констант релаксации (ретардации).

Дальнейшее исследование диссипативных процессов можно провести на примере звуковой волны, распространяющейся в неограниченной среде, упругие операторы которой определяются дробно-экспоненциальными функциями памяти.

1. Система уравнений теории наследственной упругости позволяет записать уравнение движения относительно вектора перемещения  $u_i$  в следующем виде:

$$\rho \ddot{u}_i = \lambda u_{k,k_i} + \mu (u_{k,k_i} + u_{i,jj}) \quad (1.1)$$

Здесь  $\rho$  — плотность среды; точка над буквой  $u$  означает производную по времени, а индекс, стоящий после запятой, указывает пространственное дифференцирование по соответствующей координате. Упругие операторы определены следующим образом:

$$\begin{aligned} \lambda &= \lambda (1 + \Lambda^*), \quad \Lambda^* \varepsilon = \int_0^\infty \Lambda(s) \varepsilon(t-s) ds \\ \mu &= \mu (1 + M^*), \quad M^* = \int_0^\infty M(s) \varepsilon(t-s) ds \end{aligned} \quad (1.2)$$

Решение уравнения (1.1) будем искать в виде затухающей волны

$$u_i = A_i \exp[i\omega t - (\alpha + i\omega/c)x_k v_k] \quad (1.3)$$

Здесь  $v_i$  — означает единичный вектор в направлении распространения волны со скоростью  $c > 0$ , частотой  $\omega > 0$ , коэффициентом затухания  $\alpha > 0$  и амплитудой  $A_i$ .

Подставляя (1.3) в (1.1), получаем

$$-\rho\omega^2 A_i = (\alpha + i\omega/c)^2 \{A_k v_k v_i \lambda [1 + \Lambda(\omega)] + (A_i + A_k v_k v_i) \mu [1 + M(\omega)]\} \quad (1.4)$$

$$M(\omega) = \int_0^\infty M(s) e^{-i\omega s} ds, \quad \Lambda(\omega) = \int_0^\infty \Lambda(s) e^{-i\omega s} ds \quad (1.5)$$

Соотношение (1.4) позволяет определить скорость волны  $c$ , коэффициент поглощения  $\alpha$  и логарифмический декремент  $\delta$ , дающий затухание волны в пространстве. При этом следует различать две волны — поперечную и продольную, независимо распространяющихся с разными скоростями  $c_t$  и  $c_l$  соответственно.

Характеристики поперечной волны определяются из уравнения (1.4), если положить в нем  $A_k v_k = 0$ ; получим

$$-\rho\omega^2 = (\alpha_t + i\omega/c_t) \mu [1 + M(\omega)] \quad (1.6)$$

Отсюда легко находим

$$\rho c_t^2 = \mu^0 \sec^{21/2} \varphi_t, \quad \mu^0 = \mu |1 + M(\omega)| \quad (1.7)$$

$$\alpha_t = \omega c_t^{-1} \operatorname{tg}^{1/2} \varphi_t, \quad \delta = 2\pi \operatorname{tg}^{1/2} \varphi_t \quad (1.8)$$

$$\operatorname{tg} \varphi_t = \frac{\operatorname{Im} [1 + M(\omega)]}{\operatorname{Re} [1 + M(\omega)]}, \quad 0 \leq \varphi_t \leq \frac{1}{2}\pi \quad (1.9)$$

Здесь  $\mu^0$  — абсолютная величина комплексного модуля, которая может быть принята в качестве определения динамического модуля, а  $\operatorname{tg} \varphi_t$  — обычный тангенс угла механических потерь для одномерного случая.

Для продольной волны  $A_k v_k \neq 0$ . Тогда, умножая соотношение (1.4) на  $v_i$  и проводя суммирование по повторяющимся индексам, получим

$$-\rho\omega^2 = (\alpha_l + i\omega c_l^{-1})^2 \{ \lambda [1 + \Lambda(\omega)] + 2\mu [1$$

Отсюда аналогично поперечной волне имеем

$$\rho c^2 = N \sec^2 \frac{1}{2} \Phi_l, \quad N = |N^*| = |\lambda[1 + \Lambda(\omega)] + 2\mu[1 + M(\omega)]| \quad (1.11)$$

$$\alpha_l = \omega c_l^{-1} \operatorname{tg} \frac{1}{2} \Phi_l, \quad \delta = 2\pi \operatorname{tg} \frac{1}{2} \Phi_l \quad (1.12)$$

$$\operatorname{tg} \Phi_l = \operatorname{Im} N^* / \operatorname{Re} N^*, \quad 0 \leq \Phi_l \leq \frac{1}{2}\pi \quad (1.13)$$

Для дальнейшего удобно характеристики продольной волны выразить через упругие операторы всестороннего сжатия и сдвига. Это достигается при помощи соотношения

$$N^* = K[1 + K^*(\omega)] + \frac{4}{3}\mu[1 + M^*(\omega)] \quad (1.14)$$

На основе теорем о трансформантах Фурье

$$\lim_{\omega \rightarrow \infty} \Lambda(\omega) = \lim_{\omega \rightarrow \infty} M(\omega) = 0, \quad \lim_{\omega \rightarrow \infty} \omega \Lambda(\omega) = -i\Lambda(0), \quad \lim_{\omega \rightarrow \infty} \omega M(\omega) = -iM(0) \quad (1.15)$$

из соотношений (1.7), (1.8), (1.11) при  $\omega \rightarrow \infty$  получим

$$\rho c_{t\infty}^2 = \mu_\infty, \quad \rho c_{l\infty}^2 = K_\infty + \frac{4}{3}\mu_\infty \quad (1.16)$$

$$\alpha_{t\infty} c_{t\infty} = \frac{1}{2} M(0), \quad \alpha_{l\infty} c_{l\infty} = \frac{1}{2} [\lambda\Lambda(0) + 2\mu M(0)] \quad (1.17)$$

Таким образом, при  $\omega \rightarrow \infty$  скорости звуковой волны равны соответствующим «нерелаксированным» упругим скоростям, а коэффициенты поглощения определяются наследственными ядрами, взятыми при  $t = 0$ , т. е. для всех слабо сингулярных ядер при  $\omega \rightarrow \infty$ ,  $\alpha_t$  и  $\alpha_l \rightarrow \infty$ . При  $\omega \rightarrow 0$  с учетом условия нормировки

$$\int_0^\infty \Lambda(s) ds = \int_0^\infty M(s) ds = 1 \quad (1.18)$$

получим

$$\rho c_{t0}^2 = \mu_0, \quad \rho c_{l0}^2 = K_0 + \frac{4}{3}\mu_0, \quad \alpha_{t0} = \alpha_{l0} = 0 \quad (1.19)$$

т. е. скорости звуковой волны становятся равны соответствующим «релаксированным» упругим скоростям, а поглощение исчезает.

2. Рассмотрим сначала поперечную волну, когда ядро оператора  $M(t)$  будет дробно-экспоненциальной функцией

$$M(t) = -\kappa \sum_{n=0}^{\infty} \frac{(-1)^n}{\Gamma[(\gamma(n+1))]} \left(\frac{t}{\tau_\mu}\right)^{\gamma(n+1)-1} \quad (2.1)$$

$$\kappa = \Delta\mu / \mu_\infty \tau_\mu, \quad \Delta\mu = \mu_\infty - \mu_0$$

Здесь  $\mu_\infty$  и  $\mu_0$  — соответственно нерелаксированное и релаксированное значения модуля сдвига,  $\tau_\mu$  — время релаксации сдвиговых напряжений,  $\gamma$  — параметр дробности. При  $\gamma = 1$  ядро (2.1) вырождается в обычную экспоненту, и наследственные свойства сдвиговой деформации описываются моделью стандартного линейного тела. Подставляя (2.1) в (1.5), для тангенса угла механических потерь (1.9) и динамического модуля (1.7) соответственно получим

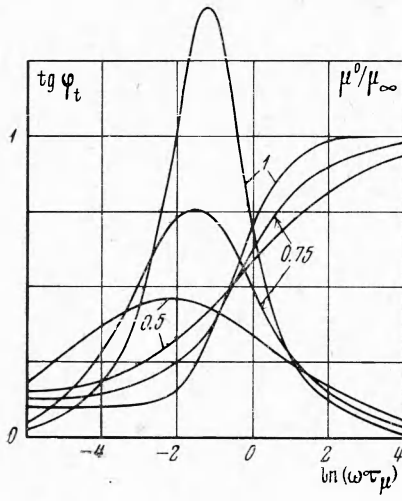
$$\operatorname{tg} \Phi_l = \frac{\Delta\mu \sin \psi}{g}, \quad \psi = \frac{\pi\gamma}{2} \quad (2.2)$$

$$g \equiv \frac{\mu_0}{(\omega\tau_\mu)^\gamma} + \mu_\infty (\omega\tau_\mu)^\gamma + (\mu_0 + \mu_\infty) \cos \psi \mu^0 = \frac{g \sec \Phi_l}{h}. \quad (2.3)$$

$$h \equiv \frac{1}{(\omega\tau_\mu)^\gamma} + (\omega\tau_\mu)^\gamma + 2 \cos \psi$$

Нетрудно установить, что при условии  $(\omega\tau_\mu)^{2\gamma} = \mu_0 / \mu_\infty$  тангенс угла механических потерь достигает максимального значения

$$\operatorname{tg} \Phi_m = \frac{\Delta^\pm \sin \psi}{2 + \Delta^\pm \cos \psi}, \quad \Delta^\pm = \frac{\mu_\infty \pm \mu_0}{\sqrt{\mu_\infty \mu_0}} \quad (2.4)$$



Фиг. 1

Это хорошо видно на фиг. 1, где в качестве параметра выбрана величина  $\gamma$ , значения которой указаны цифрами на кривых,  $\mu_0 / \mu_\infty = 0.1$ . Из фигуры видно, что для стандартного линейного тела  $\gamma = 1$  динамический модуль  $\mu^0(\omega)$  достигает своих предельных значений  $\mu^0(\omega \rightarrow 0) = \mu_0$  и  $\mu^0(\omega \rightarrow \infty) = \mu_\infty$  значительно быстрее, чем  $\operatorname{tg}\varphi_t \rightarrow 0$  при  $\omega \rightarrow 0$  и  $\omega \rightarrow \infty$ . Это объясняется различием асимптотического поведения этих величин, которые при  $\gamma = 1$  иллюстрируются следующими соотношениями [8]:

$$\mu^0 = \mu_\infty - \frac{\mu_\infty^2 - \mu_0^2}{2\mu_\infty \omega^2 \tau_\mu^2}, \quad \operatorname{tg} \varphi_t = \frac{\Delta \mu}{\mu_\infty \omega \tau_\mu}, \quad \omega \tau_\mu \gg 1 \quad (2.5)$$

$$\mu^0 = \mu_0 + \frac{\mu_\infty^2 - \mu_0^2}{2\mu_0} \omega^2 \tau_\mu^2, \quad \operatorname{tg} \varphi_t = \omega \tau_\mu \frac{\Delta \mu}{\mu_0}, \quad \omega \tau_\mu \ll 1 \quad (2.6)$$

С уменьшением параметра дробности  $\gamma$  это различие постепенно исчезает, так как меняется характер асимптотического поведения тангенса угла потерь и динамического модуля.

$$\mu^0 = \mu_\infty - \frac{\Delta \mu \cos \psi}{\omega^\gamma \tau_\mu^\gamma}, \quad \operatorname{tg} \varphi_t = \frac{\Delta \mu \sin \psi}{\mu_\infty \omega^\gamma \tau_\mu^\gamma}, \quad \omega \tau_\mu \gg 1 \quad (2.7)$$

$$\mu^0 = \mu_0 + \Delta \mu (\omega \tau_\mu)^\gamma \cos \psi, \quad \operatorname{tg} \varphi_t = \Delta \mu \mu_0^{-1} (\omega \tau_\mu)^\gamma \sin \psi, \quad \omega \tau_\mu \ll 1 \quad (2.8)$$

Зная  $\operatorname{tg} \varphi_t$  и  $\mu^0$ , нетрудно определить по формулам (1.7) и (1.8) скорость, коэффициент поглощения и логарифмический декремент поперечной волны

$$\rho c_t^2 = q h^{-1} \sec \varphi_t \sec^{21/2} \varphi_t \quad (2.9)$$

$$\alpha_t = \omega (\rho / \mu^0)^{1/2} \sin^{1/2} \varphi_t, \quad \delta = 2\pi \operatorname{tg}^{1/2} \varphi_t \quad (2.10)$$

На фиг. 2 приведены кривые  $\rho c_t^2 = f(\ln \omega \tau_\mu)$ ,  $\delta = f(\ln \omega \tau_\mu)$ ; очевидно, что поведение квадрата скорости отличается от динамического модуля и логарифмического декремента — от тангенса угла потерь. Однако это различие исчезает с уменьшением затухания, величина которого определяется тремя факторами: частотной областью  $\omega \tau_\mu$ , степенью релаксации  $\mu_0 / \mu_\infty$  и параметром  $\gamma$ , значения которого указаны цифрами у кривых. При фиксированных  $\mu_0 / \mu_\infty$  и  $\gamma$  асимптотическое поведение  $\rho c_t^2$  и  $\delta / \pi$  при  $\omega \tau_\mu \rightarrow \infty$  и  $\omega \tau_\mu \rightarrow 0$  определяется соответствующими выражениями (2.7) и (2.8). При неизменных  $\omega \tau_\mu$  и  $\mu_0 / \mu_\infty$  различие между  $\operatorname{tg} \varphi_t$  и  $\delta / \pi$ ,  $\mu^0$  и  $\rho c_t^2$  исчезает при  $\gamma \rightarrow 0$ , а при  $\gamma = 1$  (стандартное линейное тело) становится особенно заметным. При заданных  $\omega \tau_\mu$  и  $\gamma$  справедливы следующие предельные соотношения:

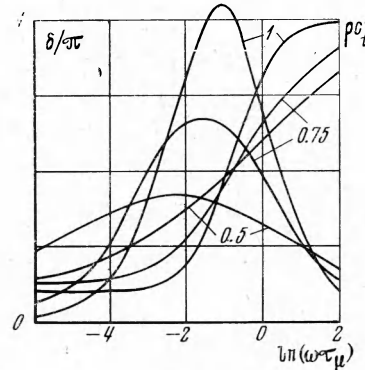
$$\lim_{\xi \rightarrow 1} \operatorname{tg} \varphi_t = \lim_{\xi \rightarrow 1} \delta = 0, \quad \xi \equiv \mu_0 / \mu_\infty, \quad \lim_{\xi \rightarrow 0} \operatorname{tg} \varphi_t = [\cos \psi + (\omega \tau_\mu)^\gamma]^{-1} \sin \psi \quad (2.11)$$

$$\lim_{\xi \rightarrow 1} (\delta / \pi) = [\cos \psi + (\omega \tau_\mu)^\gamma + (1 + 2(\omega \tau_\mu)^\gamma \cos \psi + (\omega \tau_\mu)^{2\gamma})^{1/2}]^{-1} \sin \psi$$

$$\lim_{\xi \rightarrow 1} \mu^0 = \mu_\infty = \rho c_\infty^2 t$$

$$\lim_{\xi \rightarrow 0} \mu^0 = \mu_\infty [1 + 2(\omega \tau_\mu)^{-\gamma} \cos \psi + (\omega \tau_\mu)^{-2\gamma}]^{-1/2}$$

$$\lim_{\xi \rightarrow 0} \rho c_t^2 = 2\mu_\infty [1 + (\omega \tau_\mu)^{-\gamma} \cos \psi + (\mu_\infty^{-1} \lim_{\xi \rightarrow 0} \mu^0)^{-1}]^{-1}$$



Фиг. 2

При одновременном изменении всех величин затухание максимально при условии  $(\omega \tau_\mu)^2 = \mu_0 / \mu_\infty$ , следовательно, различие между  $\operatorname{tg} \varphi_t$  и  $\delta / \pi$ ,  $\mu^0$  и  $\rho c_t^2$  наиболее велико. Сравнение величин  $\operatorname{tg} \varphi_{mt}$  (кривые, а) и  $(\delta / \pi)_m$  (кривые б) приведено на фиг. 3. Цифрами указаны значения параметра  $\gamma$ . С уменьшением отношения  $\mu_0 / \mu_\infty$  разность между этими величинами возрастает от 0 до  $\operatorname{tg} \varphi - 2 \operatorname{tg}^{1/2} \psi$  при  $0 < \gamma < 1$  и стремится к  $\infty$  в случае стандартного линейного тела  $\gamma = 1$ .

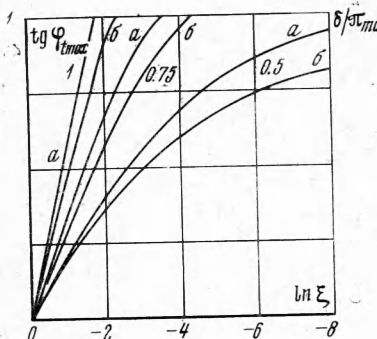
По формулам (2.2)–(2.4) частотная зависимость (дисперсия) соответствующих величин определяется безразмерным параметром  $\omega\tau_\mu$ , который зависит не только от частоты  $\omega$ , но и от температуры  $T$ , так как по закону Аррениуса  $\tau_\mu = \tau_0 \exp(u/kT)$ .

Поэтому увеличение температуры эквивалентно уменьшению частоты, и этот факт используется для экспериментального исследования дисперсии. Для коэффициента поглощения  $\alpha_t' = \alpha_t c_{t\infty} \omega^{-1}$  эта эквивалентность не имеет места, так как в зависимости от температуры  $\alpha_t'$  проходит максимум (фиг. 4), а по отношению  $\omega$  изменяется монотонно (фиг. 5). Влияние параметра дробности  $\gamma$ , значения которого указаны цифрами у кри-  
вых, в обоих случаях неодинаково, что следует из нарушения температурно-частотной экви-  
валентности.

Особенно хорошо это видно при исследовании асимптотического поведения коэффициента  $\alpha_t'$

$$\alpha_t' = \frac{\Delta\mu \omega \sin \psi}{2c_{t\infty} \omega^\gamma \tau_\mu^\gamma}, \quad \omega\tau_\mu \gg 1 \quad (2.12)$$

$$\alpha_t' = \frac{\Delta\mu \omega^{\gamma+1} \tau_\mu^\gamma \sin \psi}{2c_{t\infty} \mu_0}, \quad \omega\tau_\mu \ll 1 \quad (2.13)$$



Фиг. 3

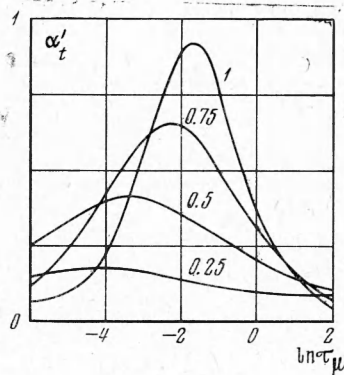
Для  $\omega = \text{const}$  при  $\tau_\mu \rightarrow 0$  и  $\tau_\mu \rightarrow \infty$  коэффициент поглощения  $\alpha_t' \rightarrow 0$  (фиг. 4). Для  $\tau_\mu = \text{const}$ , если  $\omega \rightarrow 0$ , то и  $\alpha_t' \rightarrow 0$  при любых  $\gamma \in (0, 1]$ . Однако если  $\omega \rightarrow \infty$ , то  $\alpha_t' \rightarrow \infty$  при  $\gamma \neq 1$ , и  $\alpha_{t\infty}' = \Delta\mu / 2c_{t\infty} \tau_\mu$  при  $\gamma = 1$  (фиг. 4).

3. Выпишем характеристики продольной волны, предполагая, что ядро объемной релаксации также выражается дробно-экспоненциальной функцией Ю. Н. Работнова. Тогда

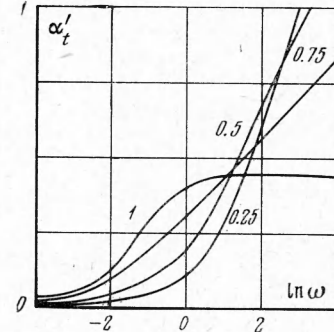
$$\operatorname{tg} \varphi_l := \frac{\Delta K h_K^{-1} \sin \psi_K + \frac{4}{3} \Delta \mu h_\mu^{-1} \sin \psi_\mu}{g_K h_K^{-1} + \frac{4}{3} g_\mu h_\mu^{-1}} \quad (3.1)$$

$$N = (g_K h_K^{-1} + \frac{4}{3} g_\mu h_\mu^{-1}) \sec \varphi_l \quad (3.2)$$

Индекс  $K$  означает, что соответствующие величины характеризуют объемную релаксацию.



Фиг. 4



Фиг. 5

По формулам (3.1)–(3.3) можно учесть влияние объемной релаксации на сдвиговую. Принципиальная возможность такого влияния обсуждалась в работе [9] для случая  $\gamma = \gamma_\mu = \gamma_K$ . При заданных релаксационных характеристиках  $\tau_\mu, \tau_K, \mu_0 / \mu_\infty, K_0 / K_\infty$  и нерелаксированном коэффициенте Пуассона  $\nu_\infty = 0.3$  пик для объемной релаксации наиболее отчетливо проявляется в случае  $\gamma = 1$ , т. е. когда наследственные свойства сдвигового и объемного модулей описываются моделью стандартного линейного тела.

Так как с уменьшением параметра дробности  $\gamma$  происходит «размытие» спектра, проявление объемной релаксации становится менее заметным, пока, наконец, совсем не исчезает. Об этом свидетельствует характер асимптотического поведения  $\operatorname{tg} \varphi_l$  и  $N$ .

В случае стандартного линейного тела  $\gamma_\mu = \gamma_K = \gamma = 1$  имеем

$$\omega \gg 1$$

$$\begin{aligned} \operatorname{tg} \varphi_l &= \frac{1}{K_\infty + \frac{4}{3} \mu_\infty} \left( \frac{\Delta K}{\omega \tau_K} + \frac{4}{3} \frac{\Delta \mu}{\omega \tau_\mu} \right) \\ N &= K_\infty + \frac{4\mu_\infty}{3} - \frac{1}{K_\infty + \frac{4}{3} \mu_\infty} \left\{ \frac{8\Delta\mu [K_\infty + \frac{1}{3}(\mu_\infty + \mu_0)]}{3\omega^2 \tau_\mu^2} + \right. \\ &\quad \left. + \frac{\Delta K}{2(\omega \tau_K)^2} \left[ K_\infty + K_0 + \frac{16\mu_\infty}{3} \right] - \frac{\Delta K \Delta \mu}{3\omega^2 \tau_\mu \tau_K} \right\} \end{aligned} \quad (3.3)$$

$$\omega \ll 1$$

$$\begin{aligned} \operatorname{tg} \varphi_l &= (K_0 + \frac{4}{3} \mu_0)^{-1} (\Delta K \omega \tau_K + \frac{4}{3} \Delta \mu \omega \tau_\mu) \\ N &= K_0 + \frac{4}{3} \mu_0 + (K_0 + \frac{4}{3} \mu_0)^{-1} \left\{ \frac{8}{3} \Delta \mu (\omega \tau_\mu)^2 [K_0 + \frac{1}{3}(\mu_0 + \mu_\infty)] + \right. \\ &\quad \left. + \frac{1}{2} \Delta K (\omega \tau_K)^2 (K_0 + K_\infty + \frac{16}{3} \mu_0) + 4 \Delta K \Delta \mu / 3 \omega^2 \tau_\mu \tau_K \right\} \end{aligned} \quad (3.4)$$

С уменьшением параметра  $\gamma$  характер асимптотического поведения тангенса угла потерь и динамического модуля меняется

$$\omega \gg 1$$

$$\begin{aligned} \operatorname{tg} \varphi_l &= \frac{1}{K_\infty + \frac{4}{3} \mu_\infty} \left[ \frac{\Delta K}{(\omega \tau_K)^\gamma} + \frac{4\Delta\mu}{3(\omega \tau_\mu)^\gamma} \right] \sin \psi \\ N &= K_\infty + \frac{4\mu_\infty}{3} - \left[ \frac{\Delta K}{(\omega \tau_K)^\gamma} + \frac{4\Delta\mu}{3(\omega \tau_\mu)^\gamma} \right] \cos \psi \end{aligned} \quad (3.5)$$

$$\omega \ll 1$$

$$\begin{aligned} \operatorname{tg} \varphi_l &= (K_0 + \frac{4}{3} \mu_0)^{-1} [\Delta K (\omega \tau_K)^\gamma + \frac{4}{3} \Delta \mu (\omega \tau_\mu)^\gamma] \sin \psi \\ N &= K_0 + \frac{4}{3} \mu_0 + [\Delta K (\omega \tau_K)^\gamma + \frac{4}{3} \Delta \mu (\omega \tau_\mu)^\gamma] \cos \psi \end{aligned} \quad (3.6)$$

При исследовании асимптотического поведения коэффициента  $\alpha_l$  проявляется нарушение температурно-частотной эквивалентности

$$\omega \gg 1$$

$$\alpha_l = \frac{1}{2} \omega \rho^{1/2} (K_\infty + \frac{4}{3} \mu_\infty)^{-3/2} [\Delta K (\omega \tau_K)^{-\gamma} + \frac{4}{3} \Delta \mu (\omega \tau_\mu)^{-\gamma}] \sin \psi \quad (3.7)$$

$$\omega \ll 1$$

$$\alpha_l = \frac{1}{2} \omega \rho^{1/2} (K_0 + \frac{4}{3} \mu_0)^{-3/2} [\Delta K (\omega \tau_K)^\gamma + \frac{4}{3} \Delta \mu (\omega \tau_\mu)^\gamma] \sin \psi \quad (3.8)$$

Для  $\omega = \text{const}$  при  $\tau_\mu \rightarrow 0$  и  $\tau_\mu \rightarrow \infty$  коэффициент поглощения  $\alpha_l \rightarrow 0$ . Для  $\tau_\mu = \text{const}$ , если  $\omega \rightarrow 0$ , то и  $\alpha_l \rightarrow 0$  при всех  $\gamma \in (0, 1]$ . Однако если  $\omega \rightarrow \infty$ , то  $\alpha_l \rightarrow \infty$  при  $\gamma \neq 1$  и  $\alpha_l \rightarrow \text{const}$  при  $\gamma = 1$ .

Таким образом, использование дробно-экспоненциальных функций в качестве ядер интегральных упругих операторов позволяет исследовать все особенности распространения звуковых волн в упруго-наследственной среде с симметричным релаксационным спектром, так как дробно-экспоненциальному ядру соответствует симметричная функция распределения частот релаксации [5].

Поступила 5 II 1968

#### ЛИТЕРАТУРА

- Работников Ю. Н. Равновесие упругой среды с последействием. ПММ, 1948, т. 12, вып. 1.
- Работников Ю. Н. Ползучесть элементов конструкций. М., «Наука», 1966.
- Розовский М. И. Об одном свойстве степени специального оператора и его приложении к решению динамических задач. Сб. «Ползучесть и длительная прочность». Новосибирск, СО АН СССР, 1963.
- Розовский М. И., Синайский Е. С. Колебания осциллятора, обладающего наследственной ползучестью. ПММ, 1966, вып. 3.
- Cole K. S., Cole R. H. Dispersion and Absorption in Dielectrics. I. Alternating current characteristics. J. Chem Phys., 1941, vol. 9, p. 341.
- Шермерг Т. Д. Расчет функции распределения констант релаксации по дисперсии действительной части комплексной упругости для упруго-вязких тел. Изв. вузов., Физика, 1961, № 1.
- Мешков С. И. К описанию внутреннего трения в наследственной теории упругости при помощи ядер, обладающих слабой сингулярностью. ПМТФ, 1967, № 4.
- Зинер К. Сб. «Упругость и неупругость металлов». В сб.: «Упругость и неупругость металлов». М., Изд-во иностр. лит., 1954.
- Мешков С. И., Пачевская Г. Н. К учету объемной релаксации методом внутреннего трения. ПМТФ, 1967, № 2.